

на правах рукописи



**Ким Евгений Давидович**

**ТЕХНОЛОГИЧЕСКИЕ ОСНОВЫ АЛЮМОТЕРМИЧЕСКОГО СИНТЕЗА  
КОМПЛЕКСНО-ЛЕГИРОВАННЫХ АНОДНЫХ МАТЕРИАЛОВ ИЗ ОКСИДНЫХ  
СОЕДИНЕНИЙ (ВКЛЮЧАЯ РУДНЫХ КОНЦЕНТРАТОВ) ДЛЯ ПОВЫШЕНИЯ  
ФУНКЦИОНАЛЬНЫХ СВОЙСТВ ПОКРЫТИЙ ПРИ ЭЛЕКТРОИСКРОВОМ  
ЛЕГИРОВАНИИ**

Специальность 05.16.09 Материаловедение (в машиностроении)

АВТОРЕФЕРАТ  
диссертации на соискание ученой степени  
кандидата технических наук

Комсомольск-на-Амуре - 2020

Работа выполнена в Федеральном государственном бюджетном образовательном учреждении высшего образования «Тихоокеанский государственный университет» «ТОГУ» на кафедре «Литейное производство и технология металлов» (ЛПТМ)

**Научный  
руководитель**

Ри Эрнст Хосенович, доктор технических наук, профессор, заведующий кафедрой «Литейное производство и технология металлов», ФГБОУ ВО «Тихоокеанский государственный университет» г. Хабаровск

**Официальные  
оппоненты**

Кечин Владимир Андреевич, доктор технических наук, профессор, заслуженный деятель науки и техники РФ, заведующий кафедрой "Технологии функциональных и конструкционных материалов" ФГБОУ ВО «Владимирский государственный университет», г. Владимир

Пячин Сергей Анатольевич, доктор физико-математических наук, профессор кафедры "Физика и теоретическая механика" ФГБОУ ВО «Дальневосточный государственный университет путей сообщения», г. Хабаровск

**Ведущая  
организация**

ФГБУН Институт машиноведения и металлургии Хабаровского федерального исследовательского центра Дальневосточного отделения Российской академии наук, г. Комсомольск-на-Амуре

Защита состоится «18» декабря 2020 года в 13<sup>00</sup> часов на заседании диссертационного совета Д 212.092.01 в ФГБОУ ВО «Комсомольский-на-Амуре государственный университет» (КнАГУ) по адресу: 681013, г. Комсомольск-на-Амуре, пр. Ленина, 27, ауд. 203, корпус 3. Факс: +7(4217) 53-61-50; телефон: +7(4217) 53-23-04; E-mail: [diss.material@yandex.ru](mailto:diss.material@yandex.ru)

С диссертацией можно ознакомиться в библиотеке ФГБОУ ВО «Комсомольский-на-Амуре государственный университет» и на официальном сайте организации по адресу: [https://soviet.knastu.ru/diss\\_defense/show/145](https://soviet.knastu.ru/diss_defense/show/145)

Автореферат разослан «\_\_\_» \_\_\_\_\_ 2020 г.

Отзывы на автореферат в двух экземплярах, подписанные и заверенные гербовой печатью организации, просим направлять по указанному адресу на имя ученого секретаря диссертационного совета.

Ученый секретарь  
диссертационного совета

Проценко Александр  
Евгеньевич

## ОБЩАЯ ХАРАКТЕРИСТИКА РАБОТЫ

### Актуальность работы

Одним из приоритетных направлений современного материаловедения является разработка и применение композитных материалов (КМ), состоящих из матрицы и распределенных в ней армирующих элементов. Поэтому разработка научных и технологичных основ синтеза новых металлических сплавов из различных химических элементов является одним из магистральных направлений развития современного материаловедения.

Традиционная технология производства таких сплавов является сложным и многостадийным процессом, предусматривающим переработку рудных концентратов с извлечением полезного компонента в виде оксидных и других соединений, их очистку и восстановление активными по отношению к кислороду металлами (Al, Mg и др.) или водородом при температурах 800...1200 °C. Наибольшее распространение в отечественной практике получил метод химического восстановления оксидных соединений металлотермии. Общим недостатком известных методов получения КМ является высокая стоимость целевых продуктов, обусловленная использованием дорогостоящего исходного сырья и сложного оборудования.

В настоящее время проблема получения алюминидов и их сплавов, а также алюноматричных и высокоэнтропийных КМ решается методами традиционных литейных и порошковой металлургии, которые не в полной мере отвечает современными требованиям.

Одновременное алюмотермическое восстановление оксидов различных металлов (Ni, W, Mo, Cr, V, Zr и др.), включая минеральных концентратов (шеелитового и бадделеитового) с применением СВС-металлургии, позволяет получать комплексно-легированные алюминиды никеля и непрерывные твердые растворы с и без интерметаллидных соединений. Это существенно упрощает технологию и снижает себестоимость получения новых высокотемпературных жаропрочных материалов, перспективных для энергетики, авиа- и автомобилестроения.

Диссертационная работа посвящена разработке технологий получения комплексно-легированных алюминидов никеля и сплавов с неограниченными твердыми растворами с и без интерметаллидных соединений и других металломатричных композитных сплавов из оксидных соединений, включая и минеральных концентратов ДВ региона, алюмотермий с применением СВС-металлургии

Актуальность темы диссертации подтверждена выполнением научно-исследовательских работ в рамках:

- Государственного задания № 11.3014.2017/ПЧ «Исследование возможности получения РЗМ-Ni-содержащих лигатур для модификации металлических сплавов».
- Стипендии Президента СП-1904.2019.1 «Разработка энергосберегающей технологии получения металломатричных композитных материалов из минерального концентрата (шеелит) для формирования покрытий с повышенными износостойкими свойствами методом ЭИЛ на стальных изделиях».
- Тематики научных исследований, включенной в план научных работ ФГБОУ ВО ТОГУ, осуществляющей научные исследования за счет средств федерального бюджета №FEME-2020-0010 «Физико-химические и технологические основы металлотермического синтеза металлов в ионных расплавах щелочных металлов и комплексно-легированных алюминидов никеля методом СВС-металлургии».

А также результаты работы были отмечены премией губернатора Хабаровского края в

области науки и инноваций для молодых ученых и стипендией имени М.П. Даниловского в 2019 году.

### **Степень разработанности темы исследования**

В 80-е годы ученые Патон Б.Е., Петрушин Н.В., Кишкин С.Т. начали разрабатывать теоретические и технологические основы получения никелевых жаропрочных сплавов с высоким содержанием Al, Nb, Ta, Ti и других легирующих элементов. Разработки продолжаются по настоящее время (Левашов Е.А., Каблов Е.Н., Поварова К.Б.). Особый интерес представляет развитие технологии получения КМ на основе никеля, титана и алюминия с интерметаллидными соединениями. Поэтому разработка простых и производительных технологий получения интерметаллидных соединений в системах Al-Ni является актуальной научно-технической задачей в области материаловедения.

### **Цель работы**

Повышение функциональных свойств покрытий из комплексно-легированных композиционных материалов, полученных из оксидных соединений и рудных концентратов алюмотермиией с применением СВС-металлургии, на стали 45 при электроискровом легировании (ЭИЛ).

### **Задачи исследования:**

1. Исследование и разработка технологии совместного восстановления Zr и W из бадделеитового и шеелитового концентратов с термодинамической оценкой и термическим анализом реакций их восстановления алюмотермиией.

2. Исследование и разработка технологии получения комплексно-легированных вольфрамовых сплавов совместным алюмотермическим восстановлением оксидных фаз шеелитового концентрата и оксидов легирующих элементов ( $\text{NiO}$ ,  $\text{Cr}_2\text{O}_3$ ,  $\text{MoO}_3$ ,  $\text{WO}_3$ ,  $\text{TiO}_2$ ,  $\text{V}_2\text{O}_3$ ) с термодинамической оценкой и термическим анализом реакций их восстановления.

3. Исследование влияния циркония на структурообразование, ликвационные процессы и свойства сплава системы Al-Ni.

4. Исследование и разработка технологии получения комплексно-легированных сплавов совместным алюмотермическим восстановлением оксидов Ni, Mo, Cr, Ti, W, V, РЗМ (La и Ce) с применением СВС-металлургии.

5. Практическая реализация полученных комплексно-легированных композитных сплавов в качестве анодных материалов при электроискровом легировании.

**Объектом исследования** являются металломатричные композитные сплавы, а параметрами исследования – их структурообразование, ликвационные процессы и процессы электроискрового легирования.

### **Научная новизна работы:**

1. Установлены и научно обоснованы закономерности формирования структурных составляющих цирконий-вольфрамсодержащего алюматричного сплава Al-Zr-W на базе бадделеитового и шеелитового концентратов ДВ-региона с применением СВС-металлургии. Даны термодинамическая оценка и выполнен термический анализ реакций синтеза композитного материала.

2. Впервые методами рентгенофазового и микрорентгеноспектрального анализов элементов идентифицированы интерметаллидные фазы  $\text{Al}_3\text{Zr}$  и  $\text{Al}_4\text{W}$  с микротвердостью 5800...6400 МПа (в среднем 6100 МПа) и 3960...5430 МПа (в среднем 4250 МПа) соответственно; кроме этих фаз в структуре идентифицированы нитрид циркония  $\text{ZrN}$  с микротвердостью 23500...27200 МПа (в среднем 25350 МПа), алюминид Zr с Si  $\text{Al}_3(\text{Si},\text{Zr})$  и эвтектика переменного состава по содержанию Si, Mn, Zr; микротвердость эвтектики колеблется от 1000 до 1800 МПа (в среднем 1400 МПа). По заданной технологии можно

получить сплавы Al-Zr-W с любым составом и структурными составляющими на базе минеральных концентратов – бадделеита и шеелита.

3. Установлены и научно обоснованы особенности формирования структуры и закономерности изменения характера распределения элементов (ликвационные процессы) и микротвердости структурных составляющих сплавов при совместном восстановлении шеелитового концентрата и оксидов легирующих элементов  $\text{Cr}_2\text{O}_3$ ,  $\text{Cr}_2\text{O}_3\text{-MoO}_3$ ,  $\text{Cr}_2\text{O}_3\text{-MoO}_3\text{-V}_2\text{O}_3$  (Cr, Cr-Mo, Cr-Mo-V) при СВС-металлургии.

4. Получены новые результаты по влиянию циркония на структурообразование, характер распределения элементов и свойства сплава Al-Ni, полученного из шихты состава, мас. %: 51 NiO; 23,5 Al; 20 CaF<sub>2</sub> и 6,5 NaNO<sub>3</sub>. Идентифицированы структурные составляющие в сплавах Al-Ni-Zr. На основании проведенных исследований получены алюмоматричные сплавы со структурой  $\text{Al}_3\text{Ni}$  и  $\text{Al}_3\text{Ni}_2$  с упрочняющими фазами алюминидов и цирконидов  $\text{Al}_2(\text{Ni}, \text{Zr})$ ,  $\text{Al}_3(\text{Ni}, \text{Zr})_2$ ,  $\text{Al}_3(\text{Ni}, \text{Si}, \text{Zr})$ ,  $\text{Al}_2(\text{Zr}, \text{Si}, \text{Ni})$ ,  $\text{Al}_2(\text{Ni}, \text{Si})$ ,  $\text{Al}_3(\text{Ni}, \text{Si})$ ,  $\text{Al}_3(\text{Ni}, \text{Si}, \text{Zr})$  и  $\text{Zr}_3(\text{Ni}, \text{Al}, \text{Hf})$ . Установлена связь между микротвердостью и характером распределения элементов в структурных составляющих сплавов Al-Ni-Zr и даны научные обоснования полученным зависимостям.

5. Установлены и научно обоснованы закономерности изменения кинетики эрозии анодных материалов из сплавов Al-Ni-Zr с различными содержаниями циркония и массопереноса на поверхности катода из стали 45, распределения элементов по сечению покрытий, микротвердости и износстойкости легированного слоя, полученного при ЭИЛ в режимах обработки ( $t_{ck}/t_p = 25/80$  и  $50/40$ ) в аргоне и на воздухе.

#### **Практическая значимость работы:**

1. Разработана технология синтеза цирконий- и вольфрамсодержащего алюмоматричного сплава Al-Zr-W на базе бадделеитового и шеелитового концентраторов ДВ-региона с применением СВС-металлургии.
2. Разработана технология получения комплексно-легированных вольфрамовых сплавов совместным восстановлением шеелитового концентрата и оксидов легирующих элементов (Cr, Cr-Mo, Cr-Mo-V) алюмотермийей.
3. Разработана технология получения цирконийсодержащих алюмоматричных сплавов Al-Ni-Zr с различными алюминидами Zr.
4. Разработана технология получения комплексно-легированных сплавов Al-Ni-X (X=Cr, Mo, W, V, Ti, РЗМ), состоящих только из непрерывных твердых растворов на основе W, Cr, Mo или только из алюминидов никеля и других элементов.
5. Использование анодных сплавов системы Al-Ni-Zr с 3,52 мас. % Zr для получения покрытия на стали 45 при ЭИЛ позволило повысить микротвердость и износстойкость в 2,8 раз.
6. Результаты диссертационной работы используются при чтении лекций и проведении лабораторных работ по курсу «Теоретические и технологические основы синтеза металлических сплавов из минеральных концентраторов» для студентов магистратуры по специальности 22.04.02 Металлургия.

#### **На защиту выносятся:**

1. Результаты разработки технологии получения комплексно-легированных сплавов на основе минеральных концентраторов и оксидных соединений Ni, W, Mo, Cr, V, Ti.
2. Результаты микрорентгеноспектрального анализа элементов на структурообразование, ликвационные процессы и функциональные свойства комплексно-легированных сплавов.
3. Результаты применения синтезированных комплексно-легированных анодных

сплавов для электроискрового легирования поверхности стали с целью повышения микротвердости и износостойкости легированного слоя.

### **Методология и методы исследований**

Методологической основой послужили работы российских и зарубежных ученых в области синтеза интерметаллидных соединений в сплавах системы Ni-Al с легирующими элементами переходной группы. Для достижения поставленной цели в работе применялся системный подход к исследованию металлотермии, легирования КМ и кинетики процесса ЭИЛ и использовались следующие методы: элементно-фазовый, рентгеноструктурный и микроструктурный анализы, сканирующая электронная микроскопия, термография и др.

**Достоверность и обоснованность результатов научных исследований и научных выводов работы** обеспечены применением комплекса современных методов исследования: сканирующей электронной микроскопии, термического анализа, термографии, рентгенографии, микрорентгеноспектрального анализа, измерения микротвердости и обработки большого объема полученных экспериментальных данных, а также воспроизводимостью и непротиворечивостью результатов, полученных различными методами. Выводы базируются на современных достижениях теории материаловедения и не противоречат их основным положениям.

**Вклад автора.** Личное участие автора в полученных результатах состоит в выполнении основного объема экспериментальных исследований, включающих подготовку объектов исследования, проведение экспериментов, обработку результатов исследования, участии в разработке методик проведения экспериментов и обсуждении полученных результатов, а также подготовку материалов для статей и докладов.

### **Апробация работы**

Основные теоретические положения и научные результаты диссертационной работы докладывались и обсуждались на международных, Российских и региональных симпозиумах и конференциях, где получили положительную оценку: XVII Международная конференция по науке и технологиям Россия-Корея-СНГ (Южно-Сахалинск, 15-17 июня 2017 г.; Москва, 26-28 августа 2018 г.; 29-31 августа 2019 г.), Конкурс - конференция научных работ молодых ученых ТОГУ, секция «Технические науки» ФГБОУ ВО «ТОГУ», (г.Хабаровск, 2017 г., III место), XIII Международный съезд литейщиков (г. Челябинск, 18- 22 сентября 2017 г.), Международная научно-техническая конференция "Пром-Инжиниринг" (Москва, 15-18 мая 2018), Краевой конкурс молодых ученых и аспирантов, секция «Технические и химические науки» (г.Хабаровск, 2018 г., III место), 2018 Young professional forum (YPF) (June 26-30, 2018, Seoul, S. Korea), 7-я Международная научно-практическая конференция «Техника и технологии: пути инновационного развития» (Курск, 29-30 июня 2018 г.), 7-я Международная молодежная научная конференция «Будущее науки -2019» (Курск, 25-26 апреля 2019 г.), International Conference on Modern Trends in Manufacturing Technologies and Equipment 2018" (г. Севастополь 10-14 сентября 2018г.), 14-ая Международная научно-практическая конференция «Современные инструментальные системы, информационные технологии и инновации» (Курск, 13-14 марта 2019 г.), Конкурс - конференция научных работ молодых ученых ТОГУ, секция «Технические науки» ФГБОУ ВО «ТОГУ», (г.Хабаровск, 2019 г., III место), Краевой конкурс молодых ученых и аспирантов, секция «Технические и химические науки» (г.Хабаровск, 2019 г.), International Conference on Modern Trends in Manufacturing Technologies and Equipment 2019" (г. Севастополь 9 – 13 сентября 2019 г.), VIII International Scientific Siberian Transport Forum. TransSiberia 2019 (Novosibirsk 22-27 мая 2019 г.), XV Международная научно-практическая конференция «Современные инструментальные системы, информационные технологии и инновации» (Курск, 19-20 марта

2020 г.), 10-я Всероссийская научно-техническая конференция с международным участием «Современные инновации в науке и технике» (Курск, 15-16 апреля 2020 г.).

### **Публикации**

По теме диссертации опубликовано 27 научных работ, в том числе 6 статей в рецензируемых изданиях из перечня ВАК РФ и 9 в рецензируемых изданиях, входящих в библиографическую и реферативную базу данных Scopus и Web of Science. Получены 2 патента на изобретение РФ.

**Структура и объем работы** соответствует диссертационному паспорту специальности 05.16.09 Материаловедение (в машиностроении). Диссертационная работа состоит из введения, 5-ти глав, общих выводов, библиографического списка, включающего 145 отечественных и зарубежных источников. Работа изложена на 168 листах машинописного текста, содержит 47 рисунков и 35 таблиц.

## **ОСНОВНОЕ СОДЕРЖАНИЕ РАБОТЫ**

***Во введении*** обоснована актуальность диссертационной работы, сформулированы цель и задачи исследования, показаны научная новизна и практическая значимость работы.

***В первой главе*** (в литературном обзоре) приведен анализ известных технологий получения металломатричных композитных сплавов и влияния легирующих элементов на их свойства. Основываясь на результатах литературных данных, можно сделать вывод, что данное направление недостаточно изучено, а исследование является весьма перспективным.

***Во второй главе*** представлены методики и материалы для проведения эксперимента. Исходными веществами служили: оксид никеля NiO чистотой 98,9 мас. %, оксид хрома Cr<sub>2</sub>O<sub>3</sub> (98,0 мас. %), оксид молибдена MoO<sub>3</sub> (98,5 мас. %), оксид вольфрама WO<sub>3</sub> (98,5 мас. %), оксид титана TiO<sub>2</sub> (98,0 мас. %), шеелитовый концентрат (таблица 1), бадделеитовый концентрат (таблица 2), порошок алюминия (99,5 мас. %), кальций фтористый марки «Ч».

Таблица 1. – Фазовый состав шеелитового концентрата, %

WO <sub>3</sub>	CaO	Fe <sub>2</sub> O <sub>3</sub>	SiO <sub>2</sub>	P <sub>2</sub> O <sub>5</sub>	S0 <sub>3</sub>	TiO <sub>2</sub>
55,0	19,8	5,3	7,96	4,0	0,1	0,5

Таблица 2. – Фазовый состав бадделеитового концентрата, %

ZrO <sub>2</sub>	WO <sub>3</sub>	Fe <sub>2</sub> O <sub>3</sub>	CeO	CaO	SiO <sub>2</sub>	P <sub>2</sub> O <sub>5</sub>
73,8	2,35	0,89	0,25	0,86	10,28	10,19

Использованы следующие современные методы исследования:

- микрорентгеноспектральный анализ по определению содержания элементов в различных структурных составляющих сплавов выполнялся на аналитическом исследовательском комплексе, на базе FE-SEM Hitachi SU-70 (Япония) с энергодисперсионного (Thermo Scientific UltraDry) и волнового (Thermo Scientific MagnaRay) приставками для микрорентгеноспектрального анализа;

- рентгеноструктурный анализ проводили на дифрактометре «Дрон-7» в медном излучении с использованием базы дифракционных данных и на аналитическом исследовательском комплексе на базе FE-SEM Carl Zeiss Merlin (Германия) с помощью приставки дифракции отраженных электронов Instruments HKLNordlys;

- испытания на микротвердость (H<sub>50</sub>) проводили по стандартной методике на приборе Shimadzu HMV-G21DT;

- термический анализ на дериватографе Q-1000 фирмы МОМ, нагрев осуществлялся линейно в течении 120 мин.;

В качестве анодных материалов использовали синтезированные комплексно-легированные металломатричные сплавы, а в качестве катода – сталь 45.

В качестве генератора импульсов при ЭИЛ использовали установку Института материаловедения ХНЦ ДВО РАН “ИМЭИЛ” с режимами: скважность  $t_{ск}=50-25$  мкс, длительность импульса разряда  $t_p=40-80$  мкс, частота  $f=500$  Гц. Для сравнения были выбраны два режима обработки, полученные опытным путём:  $t_{ск}=50$  мкс,  $t_p=40$  мкс (далее первый режим  $t_{ск}/t_p=50/40$  обозначен как ') и  $t_{ск}=25$  мкс,  $t_p=80$  мкс (второй режим 25/80 – как ''). Величины привеса катода и эрозии анода определялись гравиметрическим методом на электронных весах Shinko Denshi HTR-220 CE с точностью  $\pm 2 \cdot 10^{-4}$  г. Микроабразивный износ выполнялся с использованием установки “Calotest CSM”, в качестве контртела-шара использовался материал ZrO<sub>2</sub>.

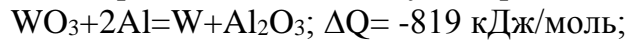
**Третья глава** посвящена исследованию и разработке физико-химических и технологических основ синтеза комплексно-легированных вольфрамо-цирконийсодержащих алюминиевых сплавов на основе шеелитового и бадделеитового концентратов ДВ-региона алюмотермиией с использованием СВС-металлургии.

### 3.1. Термодинамическая оценка и термический анализ реакций восстановления металлов из чистых оксидов переходных металлов

В работе использовали данные адиабатической температуры горения из известного источника. Изобарный потенциал определяли с помощью программного комплекса REAL. Исследование полученных термограмм показало, что восстановление оксидов вступает в активную фазу после плавления алюминия при 658-659 °C и протекает через гетерогенный механизм при 750-1100 °C.

### 3.2. Технология совместного восстановления вольфрама и циркония из шеелитового и бадделеитового концентратов.

Процесс алюмотермического получения сплавов с определённой долей приближения может быть представлен в виде суммы реакций восстановления оксидов исходных металлов:



Изобарный потенциал (энергия Гиббса) –  $\Delta G$  реакций алюмотермического восстановления оксидов W и Zr показывает, что образование конечной продукции в виде металлических слитков возможно с большей вероятностью, что подтверждается результатами исследования по термогравиметрии смесей оксидов W и Zr с порошкообразным алюминием. Экзотермический эффект в данном случае отвечает взаимодействию Al с оксидами металлов, при котором начинается увеличение массы образца.

В качестве исходных шихтовых материалов при синтезе алюроматричных сплавов использовались шеелитовый и бадделеитовый концентраты. Для успешной реализации совместного восстановительного процесса требуется повышение теплового эффекта из-за слабой эффективности реакции восстановления оксида циркония. Поэтому в шихту вводят термитную добавку натриевой селитры NaNO<sub>3</sub>. Удельный тепловой эффект разложения достигает значения 14000 кДж/кг. Введение в металлотермическую смесь ~10-13 мас. % NaNO<sub>3</sub> приводит к возрастанию суммарного теплового эффекта, достаточного для расплавления продукции реакции и разделения их на металлическую и шлаковую фазу. Натриевая селитра при взаимодействии с алюминием разлагается по реакции 6NaNO<sub>3</sub>+10Al=3Na<sub>2</sub>O+3N<sub>2</sub>+5Al<sub>2</sub>O<sub>3</sub> с выделением азота. Восстановленный цирконий, вступая во взаимодействие с азотом, образует нитрид по реакции 2Zr+N<sub>2</sub>=2ZrN ( $\Delta G=-310$  кДж/моль). Реакция экзотермична и сопровождается значительным выделением тепла. В качестве флюса использовали фтористый кальций CaF<sub>2</sub> (~15 мас. %).

Исследование показало, что выход тугоплавких металлов отвечает величинам: цирконий – 37-40 %, вольфрам – 93-96 %. Выход циркония может быть повышен в результате предварительного перевода термодинамически устойчивого оксида циркония  $ZrO_2$  в фтор аммониевую комплексную соль посредством термообработки оксида циркония с фтористым аммонием  $NH_4F$  при температуре 200 °C. В результате образуется фтор аммониевый комплекс  $(NH_4)_3ZrF_7$ , который разлагается до оксифторида  $ZrOF_2$ . Использование его повышает выход Zr в сплаве Al-Zr-W до ~ 60 %. Методом рентгенофазового анализа установлено, что в алюминиевой матрице присутствуют интерметаллидные фазы  $Al_3Zr$  и  $Al_4W$ . Объемная доля этих интерметаллидов составляет 32...38 %. Получен алюмотермический сплав, состоящий из 65,63 мас. % Al, 22,15 мас. % Zr и 8,95 мас. % W из алюмотермической смеси Al-бадделеит-шеелит. Алюмотермический сплав Al-Zr-W представляет собой композитный материал с гетерофазной структурой (рисунок 1). Сплав состоит из следующих структурных составляющих:

– светлая фаза с резко очерченными границами (точки 1–3 на рисунке 1, б и точки 4–6 на рисунке 1, г) представляет собой алюминид вольфрама  $Al_4W$  или оксиалюминид вольфрама ( $Al_2(W,O)$ ), ат.-%: 18,85 W; 69,52 Al; 11,64 O<sub>2</sub>:  $Al_{69.52}W_{18.85}=Al_{3.65}W\approx Al_4W$  или  $Al_{69.52}(W,O)_{30.49}=Al_{2.28}(W,O)\approx Al_2(W,O)$ . Микротвердость этой фазы составляет 3960...4530 МПа (в среднем 4250 МПа); из диаграммы состояния Al-W следует, что алюминид вольфрама  $Al_4W$  кристаллизуется при температуре ~1420 °C и концентрации 20 ат. % W;

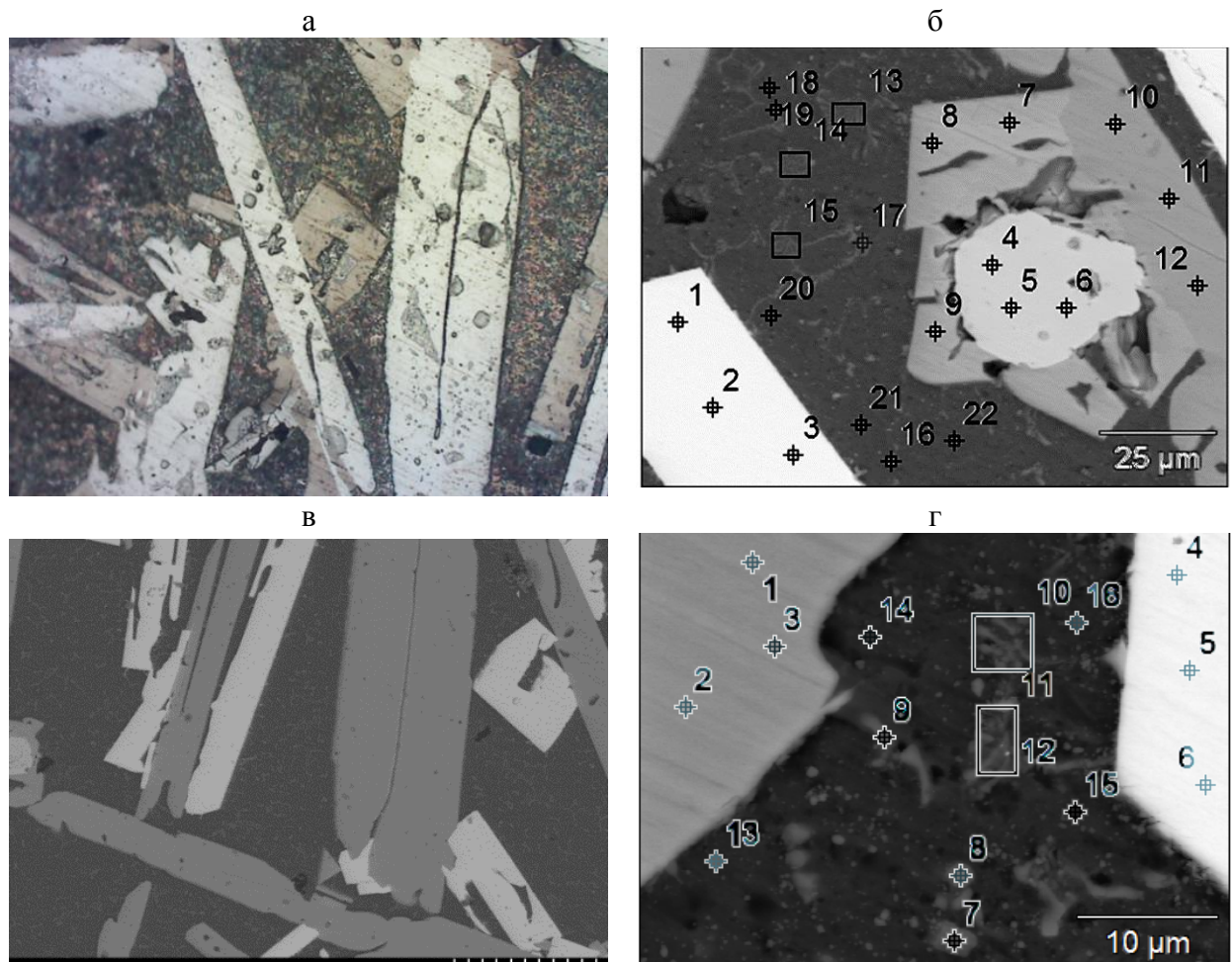


Рисунок 1 – Микроструктура сплава Al-W-Zr, полученного из бадделеита и шеелита, в оптическом микроскопе при  $\times 300$  (а) и точки анализа элементов при микрорентгеноспектральном анализе (б, в и г)

– несколько более темная фаза компактной формы (точки 4-6 на рисунке 1, б) является нитридом циркония ZrN или оксинитридом циркония, ат. %: 43,01 Zr; 44,95 N; 12,04O<sub>2</sub>: Zr<sub>43,01</sub>N<sub>44,95</sub>=Zr<sub>0,95</sub>N≈ZrN или Zr<sub>43,01</sub>(N, O)<sub>59,95</sub>=Zr<sub>0,75</sub>(N,O)≈Zr(N,O); кристаллы располагаются внутри алюминида Al<sub>3</sub>Zr; микротвердость составляет 23500...27200 МПа (в среднем 25350 МПа);

– темная структурная составляющая прямоугольной формы (точки 7-9 на рисунке 1, б) представляет собой алюминид циркония Al<sub>3</sub>Zr или оксиалюминид циркония Al<sub>3</sub>(Zr,O), ат. %: 0,602 W; 23,07 Zr; 70,52 Al; 3,09 O<sub>2</sub>: Al<sub>70,52</sub>Zr<sub>23,07</sub>=Al<sub>3,06</sub>Zr≈Al<sub>3</sub>Zr или оксиалюминид циркония Al<sub>70,52</sub>(Zr,O)<sub>26,36</sub>=Al<sub>2,68</sub>(Zr,O)≈Al<sub>3</sub>(Zr,O).

Существует несколько иной алюминид циркония или оксиалюминид циркония, не содержащий вольфрам. В данной фазе растворяется больше циркония (24,2 ат. %) и меньше кислорода (3,48 ат. %) и она имеет более темный цвет и является продолжением предыдущих алюминида циркония или оксиалюминида циркония (точки 10-12, на рисунке 1, б); микротвердость алюминида циркония или оксиалюминида циркония с вольфрамом составляет 5800...6400 МПа, а микротвердость аналогичных фаз без вольфрама с более высокой концентрацией циркония – 6200...7900 МПа;

– алюминид циркония с кремнием (точки 7-9 на рисунке 1, г), ат. %: 6,92 Fe; 1,72 Mn; 12,65 Si; 73,07 Al; 5,65 O<sub>2</sub>; Al<sub>73,07</sub>(Si,Zr)<sub>19,57</sub>=Al<sub>3,73</sub>(Si,Zr)≈Al<sub>4</sub>(Si,Zr) или Al<sub>73,07</sub>(Si,Zr,O)<sub>25,22</sub>=Al<sub>2,9</sub>(Si,O,Zr)≈Al<sub>3</sub>(Si,O,Zr);

– эвтектические составляющие:

- эвтектика №1 (точки 13-15 на рисунке 1, б и точки 10 и 11 на рисунке 1, г), ат. %: 2,8 Fe; 0,925 Mn; 5,47 Si; 77,02 Al; 13,75 O<sub>2</sub>;

- эвтектика №2 (точки 20-22 на рисунке 1, б и точки 13-16 на рисунке 1, г), ат. %: 0,1 Zr; 0,2 Mn; 1,83 Si; 85,7 Al; 12,15 O<sub>2</sub>.

Следовательно, наблюдается переменный состав эвтектики по содержанию элементов. Микротвердость эвтектики составляет 1000...1800 МПа (в среднем 1400 МПа). Таким образом, сплав Al-Zr-W имеет композитную структуру: в алюминиевой матрице (α+эвтектика) равномерно распределены интерметаллидные включения Al<sub>3</sub>Zr и Al<sub>4</sub>W, а также локальные включения нитрида циркония ZrN, обладающей высокой микротвердостью. По такой технологии можно получить сплавы Al-Zr-W с любым составом и структурными составляющими.

### 3.3. Технология получения комплексно-легированных сплавов совместным алюмотермическим восстановлением шеелитового концентрата и оксидов легирующих элементов.

Исследовалось одиночное влияние Cr, влияние Cr и Mo и Cr, Mo и V на структурообразование и составы структурных составляющих вольфрамовых сплавов, синтезированных на основе шеелитового концентрата.

#### 3.3.1. Сплав системы W-Cr-Al (мас. %: 49,99 W; 37,28 Cr; 6,43 Al).

Идентифицированы следующие структурные составляющие (рисунок 2, а и б):

– непрерывный твердый раствор хрома и кислорода в кристаллической решетке вольфрама (точки 1-3 на рисунке 2, а и б), ат. %: 72,57 W; 10,42Cr; 17,01 O<sub>2</sub>; кристаллы имеют компактную шаровидную форму и светлый оттенок с размерами 1-5 μм;

– в твердом растворе W, Al и Fe в хроме наблюдаются четыре разновидности по содержанию компонентов (таблица 3); как видно, уменьшение содержания вольфрама от 33,98 до 7,89 ат. % способствует увеличению концентрации хрома и снижению содержания алюминия и железа в составе хромистого твердого раствора;

– алюминид хрома с W и Fe.  $\text{Al}_3(\text{Cr},\text{W},\text{Fe})_2$ , ат. %: 6,6 W; 4,69 Fe; 28,23 Cr; 60,48 Al;  $\text{Al}_{60,48}(\text{Cr},\text{W},\text{Fe})_{39,5} = \text{Al}_{1,5}(\text{Cr},\text{W},\text{Fe}) = \text{Al}_3(\text{Cr},\text{W},\text{Fe})_2$ ; кристаллы имеют темный цвет и дисперсную структуру, располагаются вблизи твердого раствора на основе W (точки 14-15 на рисунке 2, *a* и точки 14-16 на рисунке 2,*б*).

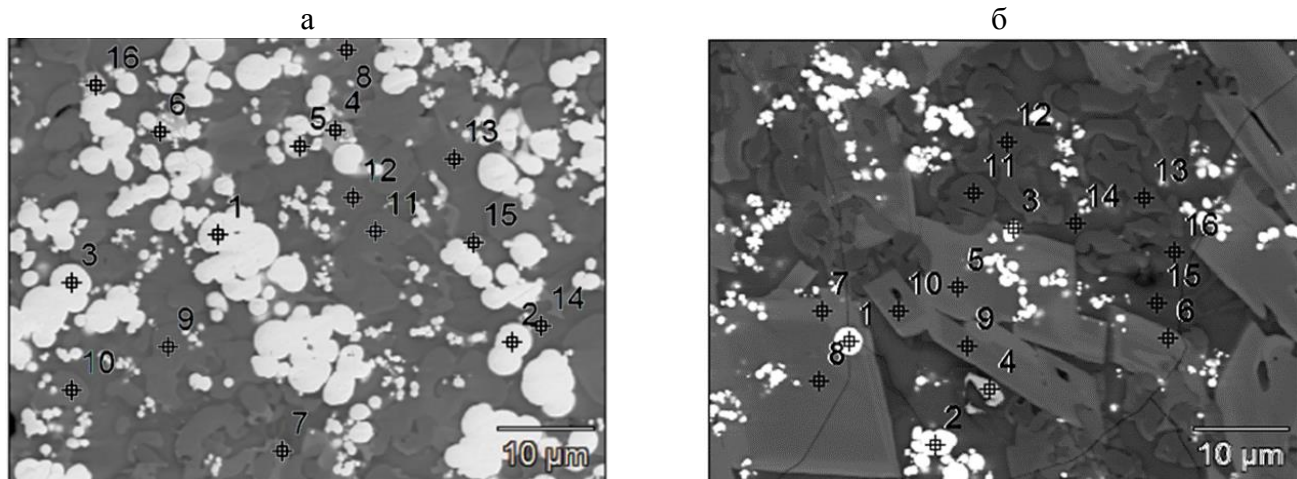


Рисунок 2 – Микроструктура и точки анализа элементов в структурных составляющих сплава W-Cr-Al: *a* – участок №1; *б* – участок №2.

Таблица 3 – Типы твердых растворов W, Al и Fe в хроме и их химический состав.

Типы твердых растворов Al, W, Fe в хроме	Содержание элементов, ат. %			
	W	Cr	Al	Fe
I (точки 4-6 на рисунке 2, <i>a</i> )	33,98	42,18	19,4	4,44
II (точки 5-7 на рисунке 2, <i>б</i> )	13,26	78,0	7,72	1,01
III (точки 9-11 на рисунке 2, <i>a</i> и точки 8-9 на рисунке 2, <i>б</i> )	9,8	81,71	7,69	0,79
IV (точки 12-13 на рисунке 2, <i>a</i> и на рисунке 2, <i>б</i> )	7,89	84,69	6,665	0,76

### 3.3.2. Сплав системы W-Mo-Cr-Al (мас. %: 44,4W; 22,8 Cr; 29,32 Mo; 3,46 Al)

На рисунке 3, *a* и *б* приведены микроструктура и точки анализа элементов в структурных составляющих сплава W-Mo-Cr-Al. Идентифицированы следующие структуры:

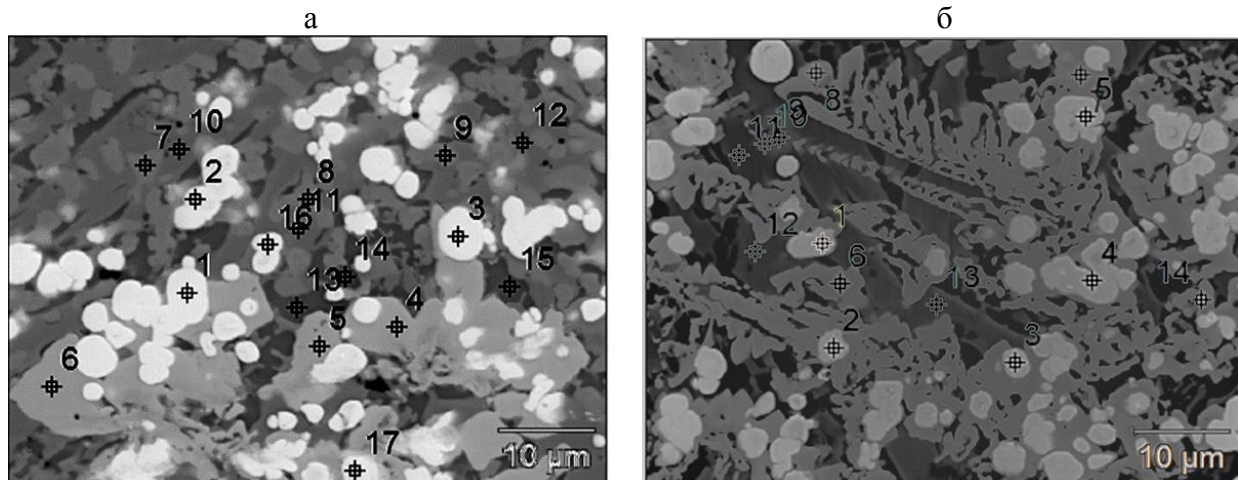


Рисунок 3 – Микроструктура и точки анализа элементов в структурных составляющих сплава W-Cr-Mo-Al: *a* – участок №1; *б* – участок №2

– непрерывный твердый раствор Mo и Cr в кристаллической решетке вольфрама (точки 1-3 на рисунке 3, *a* и *б*), ат. %: 71,53 W; 19,61 Mo; 8,85 Cr; размеры кристаллов до 5  $\mu\text{m}$ ; имеют светлый цвет шарообразной формы;

– непрерывный твердый раствор Mo, Al и Cr в кристаллической решетке вольфрама (точки 4-5 на рисунке 3, *б*), ат. %: 59,24 W; 23,1 Mo; 7,39 Cr; 10,32 Al; кристаллы имеют компактную форму серого оттенка;

– непрерывный твердый раствор W, Si, Al, P и Mo в кристаллической решетке хрома (точки 7-9 на рисунке 3, *а* и 9-10 на рисунке 3, *б*), ат. %: 7,87 W; 24,4 Mo; 0,56 Fe; 32,51 Cr; 9,29 P; 17,58 Si; 7,59 Al.; кристаллы имеют более темный цвет и занимают большую площадь шлифа; в отличие от предыдущего твердого раствора в составе содержит повышенное количество Si и P, а содержание вольфрама – минимальное (7,87 ат. %). Примесь – 0,56 Fe. твердый раствор W, Al, P и Mo в Cr (точки 10-12 на рисунке 3, *а* и 11-13 на рисунке 3, *б*), ат. %: 6,3 W; 14,13 Mo; 0,78 Fe; 50,67 Cr; 22,57 O<sub>2</sub>; 5,135 Al; по внешнему виду и форме кристаллы ничем не отличаются от кристаллов предыдущего твердого раствора, в нем кремний не растворяется;

– алюминид хрома с W, Mo, Fe (Al(Cr, W, Mo, Fe)) (точки 13-15 на рисунке 3, *а*), ат. %: 5,23 W; 13,49 Mo; 4,42 Fe; 24,49 Cr; 52,26 Al: Al<sub>52,26</sub>(Cr, Mo, W, Fe)<sub>47,74</sub>=Al<sub>1,09</sub>(Cr, Mo, W, Fe)≈ Al(Cr, Mo, W, Fe).

В непрерывном твердом растворе на основе вольфрама уменьшение содержания вольфрама приводит к увеличению концентрации молибдена и снижению содержания хрома. В нем растворяется Al в количестве 10,32 ат. %.

В непрерывном твердом растворе на основе хрома уменьшение содержания вольфрама от 20,61 до 6,3 ат. % приводит к снижению концентрации молибдена от 31,01 до 14,13 ат. % и алюминия от 15,69 до 5,135 ат. % и повышению концентрации хрома от 32,61 до 50,67 ат. % и P от 0 до 22,57 ат. %. В непрерывном твердом растворе IV типа растворяются дополнительно 17,58 ат. % кремния.

### 3.3.3. Сплав системы Al-W-Cr-Mo-V (мас. %: 37,74 W; 14,92 Cr; 18,75 Mo; 3,62 V; 10,12 Al)

На рисунке 4 можно выделить следующие структурные составляющие:

– непрерывный твердый раствор Mo, Cu, Cr, V и O в кристаллической решетке вольфрама (точки 1-3), ат. %: 60,5 W; 6,65 Mo; 8,24 Cr; 2,03 Cu; 9,57 V; 13,03 O<sub>2</sub>; кристаллы имеют компактную (шарообразную) форму весьма малого размера (несколько  $\mu\text{m}$ ) и светлый цвет; располагаются внутри кристаллов твердого раствора следующего состава;

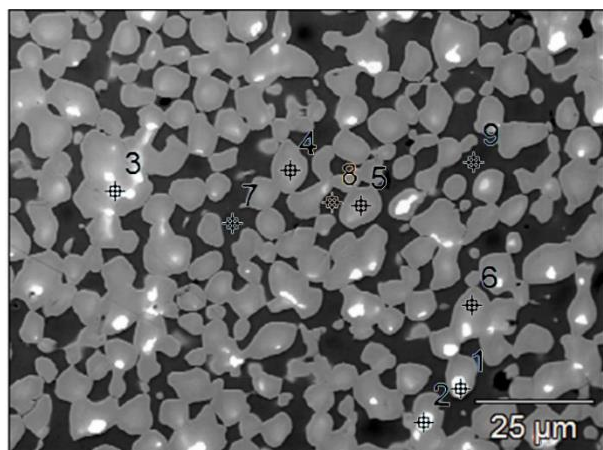


Рисунок 4 – Микроструктура и точки анализа элементов в структурных составляющих сплава Al -W-Cr-Mo-V

– непрерывный твердый раствор Cr (24.01 ат. %), O<sub>2</sub> (23,36 ат. %), V (16.39 ат. %), Mo (8,81 ат. %) и Cu (1,32 ат. %) в вольфраме (26,1 ат. %); кристаллы имеют серый цвет и компактную форму небольших размеров (точки 4-6); в отличие от предыдущего непрерывно твердого раствора на основе вольфрама в данном твердом растворе наблюдается пониженное содержание вольфрама (26,1 ат. %), меди (1,32 ат. %) и повышенная концентрация кислорода (23,36 ат. %), ванадия (16.39 ат. %), хрома (24.01 ат. %) и молибдена (8,81 ат. %);

– твердый раствор W (15.86 ат. %), Mo (13.1 ат. %), Cu (1,62 ат. %), V (18.85 ат. %), O<sub>2</sub> (12.5 ат. %) в хроме (36,9 ат. %), примесь – 0,96 ат. % Fe (точки 7-9); расположены кристаллы между дендритами предыдущего непрерывного твердого раствора; имеют темный цвет.

Таким образом, в данном сплаве кристаллизуются два типа твердых растворов на основе вольфрама и один твердый раствор на основе хрома. Не обнаружены алюминиды металлов. Такой сплав возможно будет обладать повышенным комплексом механических свойств.

Из таблицы 2 следует что микротвердость комплексно-легированных твердых растворов на основе вольфрама и хрома значительно выше, чем микротвердость алюминидов никеля (8700 МПа) для Al<sub>3</sub>Ni<sub>2</sub> и 8200 МПа для Al<sub>3</sub>Ni.

Комплексно-легированный алюминид хрома сплава W-Cr-Mo-Al также имеет высокую микротвердость (таблица 4).

Таблица 4. – Микротвердость структурных составляющих сплавов системы W-X (Cr, Mo, V).

№ п/п	Сплав	Микротвердость, МПа				
		Твердый раствор хрома и кислорода в кристаллической решетке вольфрама	Твердый раствор W, Al и Fe в хроме	Алюминид хрома с W и Fe. Al <sub>3</sub> (Cr,W,Fe) <sub>2</sub>		
1	W-Cr-Al	6891,2	9207,8	12913,37		
2	W-Cr-Mo-Al	9469	9893,93	12474,1	12913,37	14683
3	W-Cr-Mo-V-Al	10366,2	11925,03	14272,59		

**В четвертой главе** рассмотрены технологии получения комплексно-легированных сплавов совместным алюмотермическим восстановлением оксидов металлов переходной группы с использованием СВС металлургии. Приведены также результаты влияния циркония на структурообразование, ликвационные процессы и свойства сплава Al-Ni.

#### 4.1. Технология получения комплексно-легированных сплавов совместным алюмотермическим восстановлением оксидов W, Mo, Cr, Ni, Ti и РЗМ

Исследованы следующие алюмотермические системы:

4.1.1. WO<sub>3</sub>-Cr<sub>2</sub>O<sub>3</sub>-MoO<sub>3</sub>-Al (мас. %: 52,13 W; 15,62 Mo; 15,21 Cr; 17,04 Al). Сплав состоит из одного непрерывного твердого раствора Cr и Mo в кристаллической решетке вольфрама (точки 1-3 на рисунке 5, a), алюминидов хрома с W и Mo – Al<sub>2</sub>(Cr, Mo, W)<sub>3</sub>, точки 4-6 на рисунке 5, a) и Al<sub>3</sub>(Cr, Mo, W)<sub>2</sub>, точки 7-12 на рисунке 5, a.

4.1.2. WO<sub>3</sub>–Cr<sub>2</sub>O<sub>3</sub>–MoO<sub>3</sub>–V<sub>2</sub>O<sub>3</sub>–TiO<sub>2</sub>–Ce–La–Al (мас. %: 21,71 W; 9,26 Mo; 7,88 Cr; 30,5 Al; 7,41 Ni; 5,86 V; 7,4 Ti; 7,26 Ce; 1,9 La). Сплав состоит из алюминидов титана с Mo, V, Cr, W, N (точки 1 и 2 на рисунке 5, б) Al<sub>2</sub>(Ti, Mo, V, Cr, W, N), вольфрама с Mo, Cr, V, Ti (точки 4-6 на рисунке 5, б) Al(W, Mo, Cr, V, Ti), хрома с Mo, V, W, Ti, Ni (точки 7-9 на рисунке 5, б) Al<sub>3</sub>(Cr, Mo, V, W, Ti, Ni)<sub>2</sub>, хрома с V, Ti, Ni, Mo, W (точки 1-2 на рисунке 5, б) Al<sub>3</sub>(Cr, V, Ti, Ni, Mo, W)<sub>2</sub> и никеля с P3M, Cr, Ti, O<sub>2</sub> (точки 16-17 на рисунке 5, б) Al<sub>2</sub>(Ni, P3M, Cr, Ti, O). Таким образом в сплаве кристаллизуются алюминиды титана, вольфрама, хрома и никеля. Последний модифицирован P3M (1.65 ат. % La; 5.7 ат. % Ce). Такой сплав должен обладать высокой твердостью и износостойкостью.

4.1.3. NiO–Cr<sub>2</sub>O<sub>3</sub>–MoO<sub>3</sub>–WO<sub>3</sub>–Al (мас. %: 5,64 W; 6,46 Mo; 6,6 Cr; 24 Al; 57,3 Ni). Сплав состоит из непрерывного твердого раствора Cr, Ni и Mo в кристаллической решетке вольфрама (точки 1-3 на рисунке 5, в), Cr, Ni, W в кристаллической решетке молибдена (точки 7-8 на рисунке 5, в), Al, Cr, Ni, W в молибдене (точки 9-10 на рисунке 5, в), твердого раствора Al и Cr в алюминиде никеля AlNi:  $\beta'$ -фаза (точки 4-6 на рисунке 5, в) и твердого раствора Al, Cr, Mo, W в кристаллической решетке никеля (точки 11-12 на рисунке 5, в). Следовательно, такой сплав, состоящий из комплекса твердых растворов, должен обладать высокими механическими свойствами при повышенных температурах.

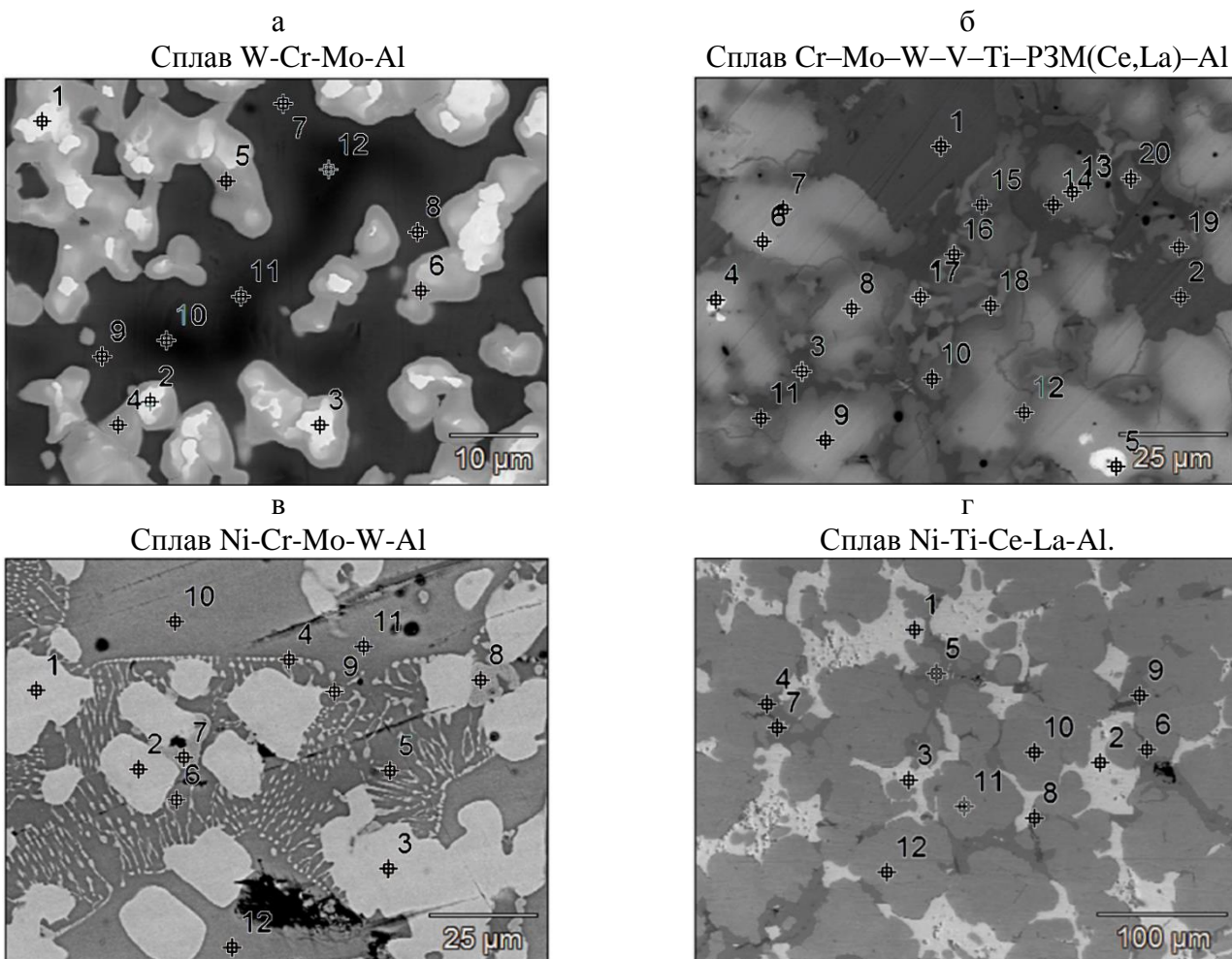


Рисунок 5 – Микроструктуры сплавов на основе вольфрама (а и б), Ni (в) и Al(г), шлифы протравлены «Царской водкой»

#### 4.1.4. NiO–TiO<sub>2</sub>–Ce–La–Al (мас. %: 48,12 Al; 31,4 Ni; 8,3 Ti; 5,46 La; 4,33 Ce; 1,39 Ca).

Сплав состоит из алюминид никеля с РЗМ (точки 1-3 на рисунке 5, 2) – Al<sub>3</sub>(Ni, РЗМ), никеля Al<sub>3</sub>Ni (точки 4-6), титана с кремнием – Al<sub>2</sub>(Ti, Si) (точки 7-9) и никеля – Al<sub>3</sub>Ni<sub>2</sub> (точки 10-12). Следовательно, структура сплава состоит из алюминидов РЗМ, Ni, Ti. Такой сплав должен обладать высокой твердостью и износостойкостью.

На основании проведенных исследований можно заключить, что наиболее перспективным является сплав, синтезированный алюмотермий системы NiO-Cr<sub>2</sub>O<sub>3</sub>-MoO<sub>3</sub>-WO<sub>3</sub>-Al (сплав Ni-Cr-Mo-W-Al), структурные составляющие представляют собой твердые растворы на основе W, Mo, Ni. Единственный твердый раствор Al и Cr в алюминиде AlNi представляет собой  $\beta$ -фазу. Данный сплав должен обладать высокой прочностью и пластичностью при сохранении достаточной твердости и износостойкости, чем сплавы с алюминидами различных элементов.

#### 4.2. Влияние циркония на структурообразование, ликвационные процессы и свойства сплава Al-Ni

##### 4.2.1. Технология получения алюминиевого сплава Al-Ni с алюминидами никеля.

Состав шихты, мас. %: 30 NiO, 30 Al, 34 CaF<sub>2</sub>, 6,0 NaNO<sub>3</sub>. Алюминий в составе шихты берется с избытком относительно расчетного ( $3\text{NiO}+2\text{Al}=3\text{Ni}+2\text{Al}_2\text{O}_3$ ), тем самым создаются необходимые для синтеза температурные условия. Избыточная часть алюминия, не участвующая в реакции восстановления, переходит в металлическую фазу, образуя алюминиды никеля Al<sub>x</sub>Ni<sub>y</sub>. Получен сплав Al-Ni следующего состава, мас. %: 47,07 Ni и 52,93 Al.

Исходный сплав Al-Ni состоит из следующих структурных составляющих (рисунок 6):

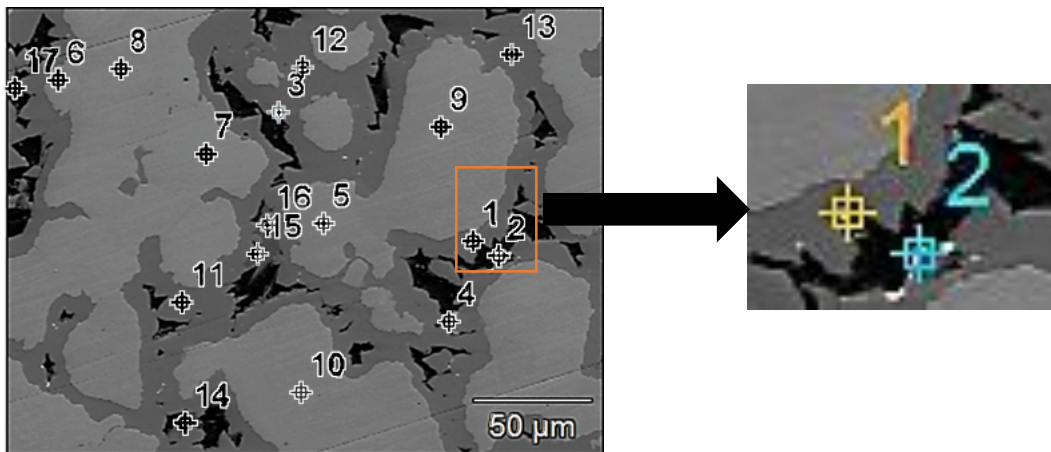


Рисунок 6 – Микроструктура и точки анализа элементов в структурных составляющих сплава Al-Ni

- алюминид никеля – AlNi (точки 1-3); алюминид никеля AlNi кристаллизуется при температуре 1638 °C и концентрации никеля ~50 ат. %; эта фаза должна кристаллизоваться в первую очередь; кристаллы AlNi имеют более темный цвет по сравнению с алюминидом никеля Al<sub>3</sub>Ni<sub>2</sub>, имеют компактную форму в виде мелких включений и располагаются на границе между кристаллами Al<sub>3</sub>Ni и эвтектикой;

- алюминид никеля Al<sub>3</sub>Ni<sub>2</sub> (точки 5-10); данная фаза кристаллизуется при более низкой (1520-1530 °C) температуре и концентрации никеля, равной ~40 ат.% Ni; кристаллы имеют компактную форму многогранника крупного размера (более 50  $\mu\text{m}$ ) и занимают большую площадь на шлифе, вокруг которых кристаллизуется кристаллы AlNi;

– алюминид никеля –  $\text{Al}_3\text{Ni}$  (точки 11-13; кристаллизуется при температуре  $\sim 1120$  °С и концентрации никеля, равной  $\sim 24$ -25 ат. %; данная фаза концентрируется вокруг кристаллов алюминида никеля  $\text{Al}_3\text{Ni}_2$  в виде сетки; следовательно, она кристаллизуется в последнюю очередь;

- эвтектика из  $\text{Al}+\text{Al}_3\text{Ni}+\text{Al}_3\text{Fe}$ .

Таким образом, в сплаве Al-Ni кристаллизуются алюминиды  $\text{AlNi}$ ,  $\text{Al}_3\text{Ni}_2$  и  $\text{Al}_3\text{Ni}$  с различными убывающими температурами кристаллизации и концентрациями никеля. Наличие алюминидов никеля  $\text{Al}_3\text{Ni}_2$  и  $\text{Al}_3\text{Ni}$  и эвтектики подтверждается кривыми распределения элементов в структурных составляющих сплава Al-Ni.

**4.2.2. Влияние циркония на структурообразование и микротвердость структурных составляющих сплава Al-Ni.** В качестве упрочняющей добавки использовали концентрат циркония ( $\text{ZrSiO}_4$ ) в количестве 0,4, 0,7, 1,5 и 2,91 мас. % (соответственно 0,47; 1,05; 1,67 и 3,52 мас. % Zr). Установлено что цирконий способствует измельчению структурных составляющих. Для их идентификации исследована микроструктура сплавов в отражённых электронах и производили элементно-фазовый анализ на растровом электронном микроскопе. Как видно, с увеличением содержания циркония в сплаве Al-Ni наблюдается снижение микротвердости кристаллов  $\text{Al}_3\text{Ni}_2$  от 8700 МПа для исходного сплава до 7792 МПа для сплава с 1,05 мас. % Zr. При дальнейшем увеличении содержания циркония до 3,52 мас. % микротвердость возрастает до 9928 МПа (таблица 5).

Таблица 5 – Микротвердость структурных составляющих от содержания циркония в сплаве Al-Ni

Содержание циркония, мас. %	Микротвердость алюминида никеля $\text{Al}_3\text{Ni}_2$ , МПа	Микротвердость алюминида никеля $\text{Al}_3\text{Ni}$ , МПа	Микротвердость эвтектики, МПа
0	8700,0	8200,0	7701,0
0,47	8553,1	8232,0	7388,0
1,05	7792,0	8334,0	7431,4
1,67	8540,5	8004,4	6567,0
3,52	9928,0	9195,5	7938,22

Наблюдается тенденция роста микротвердости кристаллов  $\text{Al}_3\text{Ni}$  от 8200,0 до 9195,5 МПа при 3,52 мас. % Zr. Микротвердость эвтектики снижается от 7701,0 до 1,67 мас. % Zr (6567 МПа) с последующим ее ростом до 3,52 мас. % Zr (7938,3 МПа) вследствие кристаллизации микроскопических включений алюминидов циркония и цирконидов.

**4.2.3. Влияние циркония на характер распределения элементов в структурных составляющих сплава Al-Ni.** При введении 0,47 мас. % Zr (рисунок 7, *a*) происходит резкое измельчение структурных составляющих –  $\text{Al}_3\text{Ni}_2$  (точки 4-6) и  $\text{Al}_3\text{Ni}$  (точки 7-9). При этом дополнительно кристаллизуется алюминид циркония с никелем  $\text{Al}_3(\text{Zr}, \text{Ni})$ , точки 1-3. В этом сплаве сохраняется алюминид железа  $\text{Al}_4\text{Fe}$  (точки 10-12). Эвтектика (точки 13-16) состоит из  $\alpha+\text{Si}+\text{Al}_3\text{Ni}$  без железа.

При введении в сплав Al-Ni 1,05 мас. % Zr (рисунок 7, *b*) по аналогичному механизму кристаллизуется алюминид никеля  $\text{Al}_3\text{Ni}_2$  (точки 7-9). Кристаллы имеют светлый цвет и компактную форму в виде многогранников, вокруг которых также образуется алюминид никеля  $\text{Al}_3\text{Ni}$  (точки 10-12). Кристаллы имеют темный цвет и окружают зерна  $\text{Al}_3\text{Ni}_2$  в виде сетки. Параллельно с этим, кристаллизуются включения алюминида циркония с никелем  $\text{Al}(\text{Zr}, \text{Ni})$  (точки 1-3) и  $\text{Al}_2(\text{Ni}, \text{Zr})$  (точки 4-6); кристаллы имеют белый цвет и размеры меньше 20  $\mu\text{m}$ . Кроме этого в сплаве кристаллизуется алюминид никеля с кремнием и

кальцием  $\text{Al}_3(\text{Ni}, \text{Si}, \text{Ca})$ , точки 13-14. Кристаллы имеют темный цвет небольших размеров, располагаются на поверхности алюминидов циркония с никелем  $\text{Al}(\text{Zr}, \text{Ni})$  и  $\text{Al}_2(\text{Ni}, \text{Zr})$ .

При добавке 1,67 мас. % Zr (рисунок 7, в) по аналогичному механизму кристаллизуется алюминид никеля  $\text{Al}_3\text{Ni}_2$  (точки 8-13) и  $\text{Al}_3\text{Ni}$  (точки 14-16). Кристаллы  $\text{Al}_3\text{Ni}_2$  имеют светлый цвет и компактную форму в виде многогранника размерами менее 50  $\mu\text{m}$ . Кристаллы  $\text{Al}_3\text{Ni}$  имеют более темный цвет и обволакивают зерна  $\text{Al}_3\text{Ni}_2$  в виде сетки. Кроме этих алюминидов никеля, в данном сплаве кристаллизуются:

- алюминид никеля с цирконием –  $\text{Al}_2(\text{Ni}, \text{Zr})$  (точки 5-7); кристаллы имеют светлый цвет и компактную форму многогранника размерами меньше 30  $\mu\text{m}$  и располагаются на поверхности кристаллов алюминида  $\text{Al}_3\text{Ni}_2$ ;
- цирконид алюминия и никеля –  $\text{Zr}_3(\text{Al}, \text{Ni})$ ; кристаллы имеют светлый цвет в виде зернышек малого размера (точки 1);
- алюминид циркония, никеля и гафния  $\text{Al}_2(\text{Zr}, \text{Ni}, \text{Hf})_3$  (точка 2)
- алюминид циркония с кремнием и никелем –  $\text{Al}_2(\text{Zr}, \text{Si}, \text{Ni})$  (точки 3,4); кристаллы имеют светлый цвет и компактную форму малого размера.

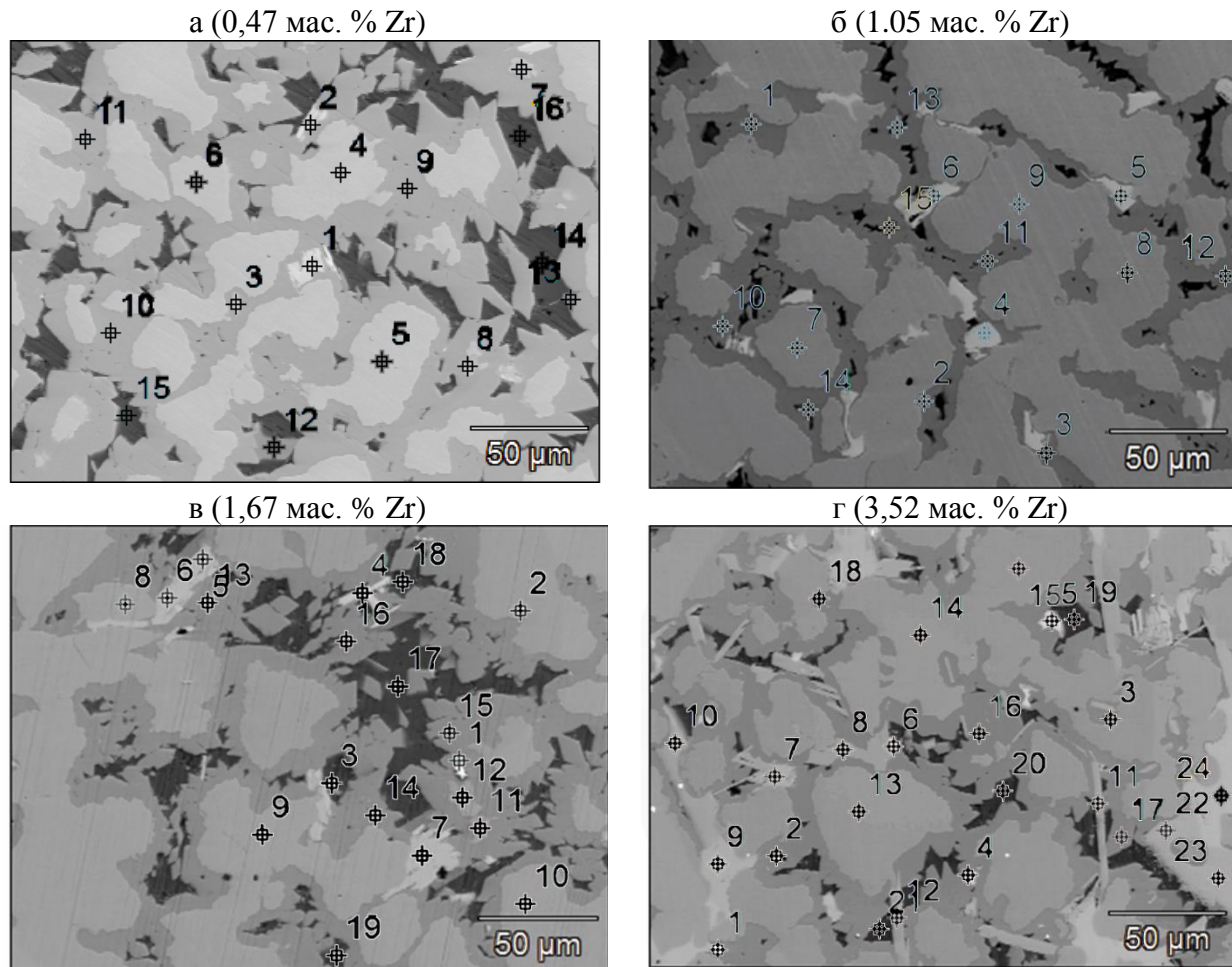


Рисунок 7. – Микроструктура и точки анализа элементов в структурных составляющих сплава Al–Ni–Zr

– при содержании 3,56 мас. % Zr (рисунок 7, г) кристаллизуется алюминид никеля  $\text{Al}_3\text{Ni}_2$  (точки 13-15); вокруг этого алюминида кристаллизуется цирконид никеля с алюминием и гафнием –  $\text{Zr}_3(\text{Ni}, \text{Al}, \text{Hf})$ , точки 1 и 2. Кристаллы имеют серый цвет. Кристаллизуется алюминид никеля с кремнием и цирконием –  $\text{Al}_3(\text{Ni}, \text{Si}, \text{Zr})_2$ , (точки 8, 10-

12). Кристаллы имеют белый цвет и форму пластин размером до 50  $\mu\text{m}$ . Также кристаллизуются алюминиды циркония с кремнием  $\text{Al}_3(\text{Zr}, \text{Si})_2$ , (точки 22-24). Кристаллы имеют светлый цвет и компактную форму. Эвтектика состоит из  $\alpha+\text{Si}+\text{Al}_3\text{Ni}$ , (точки 19-21).

На основании проведенных исследований получены алюноматричные сплавы со структурами  $\text{Al}_3\text{Ni}$  и  $\text{Al}_3\text{Ni}_2$  с упрочняющими фазами алюминидов и цирконидов  $\text{Al}_2(\text{Ni}, \text{Zr})$ ,  $\text{Al}_3(\text{Ni}, \text{Zr})_2$ ,  $\text{Al}_3(\text{Ni}, \text{Si}, \text{Zr})$ ,  $\text{Al}_2(\text{Zr}, \text{Si}, \text{Ni})$ ,  $\text{Al}_2(\text{Ni}, \text{Si})$ ,  $\text{Al}_3(\text{Ni}, \text{Si})$ ,  $\text{Al}_3(\text{Ni}, \text{Si}, \text{Zr})$  и  $\text{Zr}_3(\text{Ni}, \text{Al}, \text{Hf})$ .

**4.2.4. Связь между микротвердостью и характером распределения элементов в структурных составляющих сплава Al-Ni-Zr.** Для установления причин, способствующих изменению микротвердости структурных составляющих сплава Al-Ni от содержания циркония, определены средние значения концентрации элементов в структурных составляющих:

- с увеличением содержания циркония до 1,05 мас. % Zr, концентрация никеля в алюминиде никеля  $\text{Al}_3\text{Ni}_2$  снижается от 42,22 ат. % для исходного сплава до 39,36 ат. % Ni. При дальнейшем повышении концентрации циркония до 1,67...3,52 мас. % Zr, содержание никеля возрастает до 40,34...42,73 ат. %. При этом с повышением содержания циркония концентрация растворенного кремния возрастает от 0 до 1,23 ат. % при введении 3,52 мас. % Zr в сплав. Следовательно, экстремальный характер изменения микротвердости кристаллов  $\text{Al}_3\text{Ni}_2$  с минимумом при 1,05 мас. % Zr, по-видимому, связано с уменьшением концентрации никеля. Повышение микротвердости алюминида никеля  $\text{Al}_3\text{Ni}_2$  при дальнейшем увеличении концентрации циркония до 3,52 мас. % Zr обусловлено ростом содержания Ni и Si в алюминиде никеля  $\text{Al}_3\text{Ni}_2$ ;

- микротвердость кристаллов  $\text{Al}_3\text{Ni}$  мало зависит от содержания циркония в сплаве Al-Ni до 1,67 мас. % Zr. Существенное ее повышение наблюдается при содержании циркония 3,52 мас. % Zr и достигает 9195,5 МПа, что, вероятно, связано с кристаллизацией алюминида никеля с кремнием и цирконием  $\text{Al}_3(\text{Ni}, \text{Si}, \text{Zr})_2$ , где наблюдается повышенное содержание кремния (9,48 ат. %) и циркония (6,12 ат. %);

- микротвердость эвтектики снижается до 1,67 мас. % Zr (6567 МПа), в связи с уменьшением содержания никеля с 13,17 ат. % до 3,9 ат. %. Некоторый рост микротвердости до 7938 МПа, возможно, связан с кристаллизацией мелкодисперсных цирконийсодержащих алюминидов никеля, не фиксируемых при микроанализе.

Следовательно, для существенного повышения микротвердости сплава Al-Ni необходима добавка циркония 3,52 мас. % и более.

**Пятая глава** посвящена перспективам применения комплексно-легированных анодных сплавов Al-Ni, синтезированных из оксидных соединений (включая бадделеитового концентрата) металлотермиией, для повышения износостойкости покрытий после ЭИЛ.

1. **Кинетика процесса ЭИЛ электродными материалами из комплексно-легированных сплавов системы Al-Ni.** В качестве анодных материалов выбраны алюноматричные материалы следующих алюмотермических систем:

A –  $\text{NiO}-\text{TiO}_2-\text{Al}$  (состав сплава, мас. %: 36.52 Al; 47.65 Ni; 15.83 Ti)

B –  $\text{NiO}-\text{TiO}_2-\text{ZrO}_2-\text{Al}$  (состав сплава, мас. %: 32.59 Al; 51.42 Ni; 12.03 Ti; 3.68 Zr; 0.27 Fe)

B –  $\text{NiO}-\text{Cr}_2\text{O}_3-\text{ZrO}_2-\text{Al}$  (состав сплава, мас. %: 34.76 Al; 41.58 Ni; 12.19 Cr; 11.11 Zr; 0.15 Fe)

G –  $\text{NiO}-\text{Cr}_2\text{O}_3-\text{ZrO}_2-\text{TiO}-\text{Al}$  (состав сплава, мас. %: 33.29 Al; 41.6 Ni; 10.27 Cr; 4.6 Zr; 7.23 Ti; 2.98 Fe).

Исследована кинетика процесса ЭИЛ при двух режимах обработки  $t_{ck}/t_p=50/40$  и  $t_{ck}/t_p=25/80$  (таблица 6). Все кривые массопереноса  $\sum\Delta_k$  и эрозии  $\sum\Delta_a$  на стали 45 обозначены: А', Б', В', Г' – при режиме обработки  $t_{ck}/t_p=50/40$  и А'', Б'', В'', Г'' – при режиме обработки  $t_{ck}/t_p=25/80$ . Они относятся к классу «кривых Лазаренко».

Получен ряд привеса  $\sum\Delta_k \cdot 10^{-4}$ , г для анодных сплавов с учетом изменения режимов обработки: Г''(20,2) → В''(19,6) → А''(15,9) → Б''(15,2) → Г'(14,3) → Б'(13,7) → В'(13,1) → А'(12,1) (ряд 1), из которого видно, что наибольший привес при 10 минутной обработке ЭИЛ наблюдается у анодных материалов Г'' и В'' и наименьший – у В' и А'.

Получен ряд эрозионной стойкости анодных материалов при изменении режимов обработки  $\sum\Delta_a \cdot 10^{-4}$ , г: Г'(231,7) → В'(385,9) → В''(392,3) → Г''(408,7) → Б'(456,7) → А'(457) → Б''(465) → А''(667,0) (ряд 2). Как видно, наибольшей эрозионной стойкостью отличаются анодные материалы Г' и В'.

Таблица 6. – Значения величин привеса катода  $\sum\Delta_k(10\text{мин})$ ; эрозии анода  $\sum\Delta_a(10\text{мин})$ ; коэффициента массопереноса  $\Sigma K_{n(cp)}$ , %; износа  $\Sigma I_{lc}$ ,  $10^{-4}$  г.

Показатели ЭИЛ	Режим нанесения алюмоматричных анодов							
	$t_{ck}/t_p=50/40$				$t_{ck}/t_p=25/80$			
	А'	Б'	В'	Г'	А''	Б''	В''	Г''
$\Sigma\Delta_k(10\text{мин})$	12,1	13,7	13,1	14,3	15,9	15,2	19,6	20,2
$\Sigma\Delta_a(10\text{мин})$	457	456,7	385,9	231,7	667	465,5	392,3	408,7
$\Sigma K_{n(cp)}$ , %	6,7	5,5	10,0	11,4	3,2	6,2	10,4	8,5
$\Sigma I_{lc}$ , $10^{-4}$ г	42	29	33	25	39	27	31	22

Получен также ряд зависимостей коэффициента массопереноса  $\Sigma K_n$ , % с учетом изменения режимов обработки при ЭИЛ стали 45 анодными материалами А, Б, В, Г: Г'(11,4) → В''(10,4) → В'(10,0) → Г''(8,5) → А''(6,7) → Б''(6,2) → Б'(5,5) → А''(3,2) (ряд 3), который показывает лучшие значения  $\Sigma K_n$  у анодных материалов Г' и В'' и худшие у Б' и А''.

Получены математические выражения полиноминальных уравнений линий тренда кинетических зависимостей при ЭИЛ удельной площади поверхности 1 см<sup>2</sup> стали 45 в зависимости от длительности времени ЭИЛ исследованными анодными материалами. Критерии достоверности полученных полиномиальных линий тренда  $R^2$  изменения зависимостей  $\sum\Delta_k$ ,  $\sum\Delta_a$ ,  $\Sigma K_n$  находятся в пределах  $0,9983 > R^2 > 0,9710$ ,  $0,9991 > R^2 > 0,9908$ ,  $0,9965 > R^2 > 0,9044$  соответственно.

2. Износстойкость покрытий, полученных при ЭИЛ синтезированными анодными материалами. Максимуму износстойкости покрытий на стали 45 соответствует материал Г' на всех режимах обработки. Полученный ряд 4 понижающейся износстойкости покрытий  $\Sigma I_{lc} \cdot 10^{-4}$ , г: Г''(22) → Г'(25) → Б''(27) → Б'(29) → В''(31) → В'(33) → А''(39) → А'(42) показал лучшую износстойкость при ЭИЛ анодным материалами Г'' и Г' при режимах обработки соответственно 25/80 и 50/40, а наименьшую – А' ( $\Sigma I_{lc}=42 \cdot 10^{-4}$  г). При этом износ стали 45 без покрытия при аналогичных условиях испытания составил  $\Sigma I_{(ст.45)}=72 \cdot 10^{-4}$  г. Критерии достоверности полученных полиномиальных линий тренда  $R^2$  изменения суммарного износа находятся в пределах  $0,9957 > R^2 > 0,9882$ .

3. Влияние анодных сплавов системы Al-Ni-Zr на процесс ЭИЛ и функциональные свойства покрытий на стали 45. При ЭИЛ исследован процесс эрозии анодных материалов с различным содержанием циркония в аргоне при режимах обработки 50/40 и 25/80 и на воздухе 50/40. Установлено, что эрозионная стойкость анодных сплавов Al-Ni-Zr изменяется от содержания циркония в аргоне по экстремальной зависимости с максимумом при 3,52 мас. % Zr и минимумом при 1,05 мас. % Zr. При этом в атмосфере аргона эрозионная стойкость ниже, чем на воздухе у всех исследованных анодных материалов Al-Ni-Zr и на всех режимах обработки, за исключением материала с 3,52 мас.% Zr, эрозионная стойкость которого на воздухе ниже, чем в аргоне. Это явление, по-видимому, обусловлено окислением циркония.

Во всех случаях наибольший привес в формировании ЛС в процессе ЭИЛ ( $t=10$  мин) наблюдается при использовании анодного сплава с 1,05 мас. % Zr, отличающегося меньшей эрозионной стойкостью, а наименьший привес – при 0,47 мас. % Zr с большей эрозионной стойкостью.

Исследование износстойкости покрытий на поверхности стали 45 показало, что во всех случаях после ЭИЛ ( $t=10$  мин) износстойкость возрастает. Наибольшую износстойкость показали результаты с использованием анодных сплавов с содержанием 3,52 мас. % Zr и 1,67 мас. % Zr (соответственно, 2,8 и 2,7 раз) при ЭИЛ в аргоне.

Микротвердость покрытий на стали 45, полученных при ЭИЛ увеличивается в 6 раз при использовании анодного сплава с 3,52 мас. % Zr, что можно объяснить присутствием в ЛС цирконийсодержащих алюминидов никеля типа  $\text{Al}_3(\text{Ni}, \text{Zr})$  и  $\text{Al}_2(\text{Ni}, \text{Zr})$ .

С целью моделирования процесса ЭИЛ стали 45 в аргоне и на воздухе получены математические описания полиноминальных, линейных и степенных уравнений с различными режимами и определены следующие пределы значений критериев достоверности зависимостей эрозии  $\sum \Delta_a$  ( $0,9978 > R^a > 0,9829$ ), привеса  $\sum \Delta_k$  ( $0,9973 > R^k > 0,9695$ ) и суммарного износа  $\Sigma I_{lc}$  ( $0,9989 > R^{lc} > 0,9884$ ).

## ЗАКЛЮЧЕНИЕ

1. Разработана технология получения алюроматричного сплава из W и Zr на основе шеелитового и бадделеитового концентратов ДВ-региона металлургии с применением СВС–металлургии. Изучены особенности совместного восстановления циркония и вольфрама алюмотермией с термодинамической оценкой и термическим анализом реакций синтеза. Получен алюроматричный сплав состава, мас. %: 65,63 Al, 22,15 Zr, 8,95 W.

2. Установлены особенности формирования структуры и закономерности изменения характера распределения элементов (ликвационных процессов) и микротвердости структурных составляющих сплавов при совместном восстановлении шеелитового концентрата и оксидов легирующих элементов  $\text{Cr}_2\text{O}_3$ ,  $\text{Cr}_2\text{O}_3-\text{MoO}_3$  и  $\text{Cr}_2\text{O}_3-\text{MoO}_3-\text{V}_2\text{O}_3$  (Cr, Cr-Mo и Cr-Mo-V).

3. Разработана технология получения комплексно-легированных сплавов на основе W, Ni и Al алюмотермическим восстановлением оксидов W, Mo, Cr, Ni, Ti и РЗМ (Ce и La). На основании проведенных исследований можно заключить, что наиболее перспективным является сплав, синтезированный алюмотермией системы  $\text{NiO}-\text{Cr}_2\text{O}_3-\text{MoO}_3-\text{WO}_3-\text{Al}$  (сплав Ni-Cr-Mo-W-Al), так как структурные составляющие представляют собой непрерывные твердые растворы на основе W, Mo и Ni. Единственный твердый раствор Al и Cr в алюминиде никеля  $\text{Al}(\text{Ni}, \text{Cr})$  представляет собой  $\beta'$ -фазу. Данный сплав (мас. %: 5,64 W; 6,46 Mo; 6,6 Cr; 24 Al; 57,3 Ni) должен обладать улучшенным комплексом механических свойств при сохранении достаточной твердости и износстойкости, чем сплавы с алюминидами различных элементов.

4. Установлены закономерности изменения структуры, характера распределения элементов и свойств структурных составляющих алюроматричного сплава Al-Ni от содержания циркония, полученного алюмотермией с использованием СВС-металлургии. В исходном сплаве Al-Ni, кроме алюминидов никеля AlNi, кристаллизующегося в первую очередь в виде компактных кристаллов малых размеров, образуются алюминиды никеля Al<sub>3</sub>Ni<sub>2</sub> и Al<sub>3</sub>Ni, кристаллы последнего обволакивают кристаллы первого алюминида никеля. При введении циркония происходит резкое измельчение структурных составляющих. На основании проведенных исследований получены алюроматричные сплавы со структурами Al<sub>2</sub>Ni<sub>2</sub> и Al<sub>3</sub>Ni с упрочняющими фазами – алюминидами и цирконидами.

Выявлена связь между изменениями микротвердости и характера распределения элементов в структурных составляющих сплавов Al-Ni-Zr.

5. Для повышения износостойкости покрытий на стали 45 разработаны четыре никелевые сплавы А, Б, В, Г в качестве анодных сплавов при ЭИЛ из оксидных соединений NiO, TiO, ZrO<sub>2</sub>, Cr<sub>2</sub>O<sub>3</sub>, TiO<sub>2</sub> металлотермией при различных режимах обработки  $t_{\text{ск}}/t_p=50/40$  (А', Б', В', Г') и 25/80 (А'', Б'', В'', Г'').

Получены ряды привеса ( $\sum \Delta_k * 10^{-4}$ , г), эрозии ( $\sum \Delta_a * 10^{-4}$ , г), коэффициента переноса ( $\sum K_p$ , %) и износа ( $\sum I_{\text{лс}} * 10^{-4}$ , г) с учетом изменения режимов обработки при ЭИЛ.

Для всех вышеуказанных показателей покрытий получены математические выражения полиноминальных уравнений линий тренда кинетических зависимостей при ЭИЛ и износостойкости покрытий в зависимости от длительности времени ЭИЛ исследованными анодными сплавами и определены критерии достоверности полученных полиномиальных линий тренда R<sup>n</sup> изменения зависимостей  $\sum \Delta_k$ ,  $\sum \Delta_a$ ,  $\sum K_p$ ,  $\sum I_{\text{лс}}$ .

6. Приведены результаты исследования влияния циркония на процесс ЭИЛ и функциональные свойства покрытий на стали 45 в атмосфере аргона и на воздухе при режимах обработки 50/40 и 25/80. Установлено, что эрозионная стойкость анодных сплавов Al-Ni-Zr изменяется от содержания циркония в аргоне по экстремальной зависимости с максимумами при 3,52 мас. % Zr и минимумом 1,05 мас. % Zr. При этом в атмосфере аргона эрозионная стойкость ниже, чем на воздухе для всех исследованных анодных материалов Al-Ni-Zr и на всех режимах обработки, за исключением материала с 3,52 мас. % Zr.

Во всех случаях наибольший привес в формировании ЛС в процессе ЭИЛ ( $t=10$  мин) наблюдается при использовании анодного сплава с 1,05 мас. % Zr, отличающегося меньшей эрозионной стойкостью, а наименьший привес – при 0,47 мас. % Zr с большей эрозионной стойкостью.

Исследование износостойкости покрытий на поверхности стали 45 показало, что во всех случаях после ЭИЛ ( $t=10$  мин) износостойкость возрастает. Наибольшую износостойкость показали результаты с использованием анодных сплавов с содержанием 3,52 мас. % Zr и 1,67 мас. % Zr (соответственно, 2,8 и 2,7 раз) при ЭИЛ в аргоне. Микротвердость покрытий на стали 45, полученных при ЭИЛ увеличивается в 6 раз при использовании анодного сплава с 3,52 мас. % Zr, что можно объяснить присутствием в ЛС цирконийсодержащих алюминидов никеля типа Al<sub>3</sub>(Ni,Zr) и Al<sub>2</sub>(Ni,Zr).

#### **Основные результаты диссертации опубликованы в следующих работах:**

*Публикации в рецензируемых изданиях, входящих в библиографическую и реферативную базу данных Scopus и Web of science:*

1. Гостищев В.В. Получение комплексно-легированных алюминидов никеля и лигатур сложного состава металлотермией оксидов металлов /Гостищев В.В., Ри Э.Х., Ким Е.Д., Химухин С.Н./ Цветные металлы –2017– № 10 – С. 37-42.

2. Gostishchev, V.; Ri, E.; Ri, H.; Kim, E.; Ermakov, M.; Khimukhin, S.; Deev, V.; Prusov, E. Synthesis of Complex-Alloyed Nickel Aluminides from Oxide Compounds by Aluminothermic Method.// Metals – 2018 – 8 – 439.

3. Гостищев В.В. Синтез композитного алюмоматричного сплава Al – Ni – W /Гостищев В.В., Ри Э.Х., Ким Е.Д., Химухин С.Н./ Цветные металлы – 2018 – № 7 – С. 62-68.

4. Gostishchev V. V., Kim E. D., Ri E. H. Synthesis of aluminum-matrix alloys with Al-Zr-W by metallotherry of oxides //Solid State Phenomena. – Trans Tech Publications Ltd, 2018. – T. 284. – C. 465-469.

5. Gostishchev V., Kim E., Ri E. Obtaining of Alumino-Matrix Alloys Al-Zr, Al-Zr-W by SHS-Metallurgy Method //Materials Today: Proceedings. – 2019. – T. 11. – C. 235-239.

6. Gostishchev V. V., Kim, E. D., Khimukhin, S. N., Ri, E. H. High-Temperature Synthesis of Al–Zr–W Aluminum-Matrix Alloys //Inorganic Materials. – 2019. – T. 55. – №. 1. – C. 32-36.

7. Khimukhin S. N., Kim E. D., Ri E. H. Synthesis of NiAl composite alloys by metallotherry method //Materials Today: Proceedings. – 2019 – T.19 – c. 2278–2282

8. Sergey N. Khimukhin, Vladislav B. Deev, Ernst Kh. Ri, Evgeniy D. Kim High temperature synthesis of nickel aluminide alloys with tungsten carbide// Non-ferrous Metals – 2020 – №1 – с. 31-34.

9. Nikolenko S., Konevtsov, L., Makienko, V., Kim, E.. Use of Aluminum Matrix Material for Electrospark Alloying of Carbon Steels //International Scientific Siberian Transport Forum. – Springer, Cham, 2019. – С. 291-299.

*Публикации в рецензируемых научных журналах, рекомендованных ВАК РФ:*

1. Гостищев В.В. Получение комплексно-легированных алюминидов никеля и лигатур сложного состава металлотермией оксидов металлов /Гостищев В.В., Ри Э.Х., Ким Е.Д., Химухин С.Н./ Цветные металлы –2017– № 10 – С. 37-42..

2. Гостищев В.В. Синтез композитного алюмоматричного сплава Al – Ni – W /Гостищев В.В., Ри Э.Х., Ким Е.Д., Химухин С.Н./ Цветные металлы – 2018 – № 7 – С. 62-68.

3 Гостищев В.В., Ри Э.Х., Ким Е.Д., Химухин С.Н. Высокотемпературный синтез алюмоматричных сплавов Al–Zr–W// Неорганические материалы, 2019, том 55, №1. С. 56 – 59.

4. Гостищев В.В. Получение лигатуры на основе шеелитового концентрата методом алюминотермии /Гостищев В.В., Ри Э.Х., Ким Е.Д., Химухин С.Н., Ри Хосен // Ученые записки КнАГТУ, т3. 1(31) С. 84-91.

5. Хосен Ри Синтез легированных алюминидов никеля из оксидных соединений алюминотермическим методом /Ри Хосен, В.В. Гостищев, С.Н. Химухин, Е.Д. Ким, А.В. Меднева //Металлургия машиностроения, 2018, №1. С. 30-35

6. Ри Хосен, Е.Д. Ким, В.В. Гостищев, С.Н. Химухин, М.А. Ермаков Получение лигатуры металлотермией шеелитового концентрата с добавками оксидов ванадия, хрома, молибдена//. Литейщик России – 2017. – №10 – С. 28 – 31.

*Патенты на изобретение РФ:*

1. Химухин С.Н., Ри Хосен, Ри Э.Х., Ким Е.Д. Способ получения литых композиционных алюмоматричных сплавов // Патент на изобретение РФ № 2729267

2. Ри Э.Х., Ри Хосен, Ким Е.Д., Гончаров А.В., Славинская Н.А. Способ получения лигатуры с алюминидами никеля и РЗМ для модификации алюминиевых сплавов// Патент на изобретение РФ № 2732809

*Статьи и материалы конференций:*

1. Ри Хосен, Химухин С. Н., Щекин А. В., Дзюба Г. С., Ри Э. Х., Ким Е. Д., Гостищев В.В. Получение лигатуры методом металлотермии из оксидов тугоплавких металлов//

Ученые заметки ТОГУ –Т. 8. № 2 – Тихоокеанский государственный университет, Хабаровск – 2017 – стр. 139 - 144

2. Ри Хосен, Ри Э. Х., Ким Е. Д., Гостищев В.В., Беседин А.А. Получение лигатуры сложного состава металлотермией оксидов металлов// Прогрессивные литейные технологии – Т. 1 – Лаборатория рекламы и печати, Москва –2017 – стр. 180 - 183

3. Ри Хосен, Химухин С. Н., Ермаков М. А., Ким Е. Д., Гостищев В.В. Получение лигатуры металлотермией шеелитового концентрата с добавками оксидов ванадия, хрома, молибдена// Труды XIII съезда литейщиков России – Том 1– Российская ассоциация литейщиков, Челябинск – 2017 – стр. 112 – 116

4. Ри Хосен, Ри Э. Х., Ким Е. Д., Гостищев В.В. Получение сплавов на основе шеелитового концентрата W-Mo-Cr методом алюминотермии// XVII Международная конференция по науке и технологиям Россия-Корея-СНГ – Т. 1– ФГБОУ ВО "НГТУ", Южно-Сахалинск – 2017 – стр. 325 – 330

5. Химухин С. Н., Ким Е. Д. Лигатура с W из шеелитового концентрата методом алюмотермии // Техника и технологии: пути инновационного развития: Сборник научных трудов 7-й Международной научно-практической конференции (29-30 июня 2018 года), под. ред.: Горохова А.А., Том None, Юго-Зап. гос. ун-т. Изд-во ЗАО «Университетская книга», Курск, 2018, стр. 133 – 136

6. Ри Э. Х., Ким Е. Д. Получение лигатуры из шеелитового концентрата// сборник XVIII международной конференции по науке и технологиям Россия-Корея-СНГ – Том 18– изд-во АНТОК, Москва– 2018– стр. 270 – 275

7. Ри Хосен, Ри Э. Х., Ким Е. Д., Щекочихина Е. А., Свищева Т.А. Получение лигатуры металлотермией шеелитового концентрата с добавками оксидов ванадия, хрома, молибдена// Ученые заметки ТОГУ, Том 2(9), Издательство ТОГУ, Хабаровск, 2018, стр. 118 – 122

8. Ри Хосен, Ким Е. Д., Головко Е. А. Получение алюмоматричного сплава из минеральных концентратов методом СВС // Будущее науки-2019: Сборник научных статей 7-й Международной молодежной научной конференции (25-26 апреля 2019 года), Том 6, ЗАО "Университетская книга", Курск, 2019, стр. 108 – 110

9. Химухин С. Н., Ким Е. Д., Головко Е. А. Получение металломатричного сплава Al-Zr-W внепечной металлотермией// XIX Международная конференция по науке и технологиям Россия-Корея-СНГ, Том 1, НТО "Анток", Новосибирск, 2019, стр. 106 – 111

10. Ри Хосен, Ким Е. Д. Получение металломатричного сплава Al-W-Mo-Cr из оксидов металлов// Современные инструментальные системы, информационные технологии и инновации: сборник научных трудов 15-ой Международной научно-практической конференции (19-20 марта 2020 года), Том 1, ЗАО "Университетская книга", Курск, 2020, стр. 255 – 258

11. Ким Е. Д., Головко Е. А. Синтез методом алюмотермии металлокомпозитных сплавов на основе алюминидов никеля, легированных Zr // Молодежная научная конференция АНТОК, Том 1, Издательство Новосибирского государственного технического университета, Новосибирск г, 2020, стр. 17 – 19